

# مقایسه تأثیر دبیریدمان سطح ریشه دندان‌های مبتلا به پریودنتیت با وسایل دستی، اولتراسونیک و لیزر Er:YAG بر نرخ بقای فیبروبلاست‌های لثه انسانی

## خلاصه

**مقدمه:** بیمای‌های پریودنتال یکی از شایع‌ترین علل از دستدادن دندان‌ها است. بازسازی اتصال از دست‌رفته و برقراری چسبندگی مجدد بافت به سطح عریان‌شده دندان‌ها مهم‌ترین هدف در درمان‌های پریودنتال است. با توجه به معاوی روش‌های معمول آماده‌سازی سطح ریشه امروزه استفاده از لیزرها به‌ویژه لیزر Er:YAG برای انجام درمان‌های پریودنتال مناسب می‌باشدند. و نیز با توجه به خلاصه اطلاعات آماری از چگونگی عملکرد لیزر در بهبود درمان‌های پریودنتال در تحقیق حاضر اثرات جرم‌گیری دستی، اولتراسونیک و لیزر Er:YAG بر نرخ بقای سلولی فیبروبلاست‌های لثه انسانی بررسی شد.

**روش بررسی:** این تحقیق به صورت مطالعه Experimental و با استفاده از تست MTT انجام شد. در این مطالعه ۳۵ دندان تکریشه مبتلا به پریودنتیت و ۷ دندان سالم که به دلایل ارتدنسی کشیده شدند (گروه کنترل) مورد بررسی قرار گرفت. مجموع برش‌ها در ۵ گروه قرار داده شد: ۱) گروه سالم بدن درمان (کنترل +) ۲) گروه درمان نشده مبتلا به پریودنتیت (کنترل -) ۳) گروه جرم‌گیری دستی (Scaled Gracey) ۴) تابش لیزر Er:YAG ۱۰۰mj و ۱۰ Hz (۱۰) با Pulse duration very short ۲۳۰ همراه با روش دستی ۵) گروه اولتراسونیک. برش‌ها در محیط کشت سلولی قرار داده شد نرخ بقای سلول‌های فیبروبلاست لثه انسانی در گروه‌های فوق با استفاده از تست MTT بررسی شد.

**یافته‌ها:** نتایج به دست آمده از مطالعه حاضر با استفاده از آنالیز کوواریانس (Ancova) نشان داد که از نظر میزان بقای سلول‌های فیبروبلاست لثه‌ای بین ۵ گروه اختلاف معنی‌داری وجود دارد ( $P < 0.001$ ). هر چند اختلاف معنی‌داری بین تعداد سلول‌های فیبروبلاست بر روی دیواره دندان‌ها بین ۴ گروه یافت نشد، ولی هر ۴ گروه مورد بررسی تفاوت معنی‌داری با گروه کنترل مثبت داشتند (کنترل مثبت  $20.8 \pm 6.5$ ، اولتراسونیک  $13.3 \pm 8.5$ ، لیزر  $11.3 \pm 1.4$ ، کنترل منفی  $12.8 \pm 2.9$ ، دستی  $12.0 \pm 4.1$ ). دستی  $13.0 \pm 4.3$ ).

**نتیجه‌گیری:** تحقیق نشان داد که استفاده از لیزر Er:YAG (mj ۱۰۰ و Hz ۱۰) نمی‌تواند سبب افزایش نرخ بقای فیبروبلاست لثه‌ای گردد.

**واژه‌های کلیدی:** لیزر Er: YAG، سلول فیبروبلاست لثه انسانی، اولتراسونیک، جرم‌گیری دستی

طاهره فروتن<sup>۱</sup>  
رضا عمید<sup>۲</sup>  
شادی توتوونچی<sup>۳</sup>

۱. استادیار گروه علوم جانوری دانشکده علوم زیستی دانشگاه خوارزمی، تهران، ایران
۲. دانشیار دانشکده دندانپزشکی دانشگاه شهری بهشتی، تهران، ایران
۳. کارشناس رشد، دانشکده دندانپزشکی دانشگاه آزاد تهران، تهران ایران

## مقدمه

زیادی به کاربرد روش‌های غیر جراحی داشته‌اند و در صورت افزایش درصد موفقیت این درمان‌ها می‌توان تعداد بیشتری از بیماران را تحت پوشش درمانی قرار داد و از عوارض توسعه‌ی دندانی بر اثر پریودنتیت جلوگیری نمود. در این تحقیق، اثرهای جرم‌گیری با وسایل دستی، دستگاه اولتراسونیک و لیزر Er:YAG روی اتصال سلول‌های بافت همبندی لثه انسانی بر سطح ریشه دندان‌های مبتلا به پریودنتیت شدید مقایسه خواهد شد.

## روش بررسی

روش تحقیق به صورت مطالعه تجربی و تکنیک آن به صورت مشاهده‌ای با استفاده از روش MTT و در شرایط آزمایشگاهی انجام شد.

دندان‌های کشیده شده تک ریشه مبتلا به پریودنتیت شدید که کشیدن آن‌ها در طرح درمان کلی بیمار مد نظر قرار دارد، انتخاب شدند. شاخص‌های مدنظر برای انتخاب دندان شامل موارد زیر بود:

عمق پروب بالینی در حد ۵ میلی‌متر یا بیشتر در دو سطح دیستال و مزیال، از دست دادن سطح اتصال بالینی در حد ۸ میلی‌متر یا بیشتر در دو سطح مزیال و دیستال، لقی درجه دوم یا سوم در حال پیشرفت، عدم وجود پوسیدگی یا تغییرات ساختاری مشخص در سطح ریشه دندان، عدم دریافت درمان‌های پریودنتال قبلی روی ریشه دندان در طول ۱۲ ماه گذشته و عدم وجود شکستگی یا ناهنجاری‌های آناتومیکی مشهود همچون شیارهای سطح ریشه‌ای.

دندان‌ها در چهار گروه بدون درمان، درمان با وسایل دستی، دستگاه اولتراسونیک و لیزر Er:YAG به همراه روش دستی قرار داده می‌شود. همچنین یک گروه از دندان‌های سالم کشیده شده به دلایل ارتودنسی به منظور بالا بردن ضریب اطمینان قرار داده شد.



شکل ۱

## روش درمان

پلیت‌های دندانی با برداشتن تاج و اپکس هر دندان آماده شدند. یک‌سوم میانی ریشه به صورت طولی در یک سطح Bucco-Lingualy بریده شد و بلوك‌های مستطیلی تقریباً به اندازه  $5 \times 6 \times 2$  میلی‌متر تهیه شد.

یکی از شایع‌ترین علل از دست دادن دندان‌ها، بیماری‌های پریودنتال می‌باشند که در اثر تجمع پلاک میکروبی و دیگر رسوبات بر روی سطوح دندانی به وجود می‌آیند. تازمانی که چنین رسوباتی توأم با سمان آلوده شده بر روی سطح ریشه باقی بماند درمان موفقیت‌آمیز بیماری‌های پریودنتال امکان‌پذیر نخواهد بود [۱]. از طرف دیگر، مهم‌ترین هدف در درمان‌های پریودنتال هم بازسازی اتصال از دست رفته و برقراری چسبندگی مجدد بافت به سطح عربان شده دندان‌ها است. برای این‌منظور، باید سطح ریشه آلدوه شده بیمار را به شکلی درآورد که آماده پذیرش اتصال جدید باشند. این مرحله به صورت مکانیکی یا شیمیایی صورت می‌گیرد. آماده سازی مکانیکی شامل برداشت جرم و رسوبات میکروبی از سطح ریشه (Scaling) و تسطیح آن (planning) است که با استفاده از وسایل جرم‌گیری دستی یا دستگاه‌های اولتراسونیک صورت می‌گیرد و آماده سازی شیمیایی به کاربرد موادی مانند اسید سیتریک، تتراسایلکین یا EDTA بر می‌گردد. وسایل اولتراسونیک سال‌ها است که به عنوان یک مکمل ارزشمند در کنار وسایل دستی برای پاکسازی سطوح دندانی مورد استفاده قرار گرفته‌اند. مشخص شده است که وسایل اولتراسونیک سطحی زیرتر و آسیب سطحی بیشتری نسبت به وسایل دستی بر جای می‌گذارند. علاوه بر این کاربرد وسایل در برخی بیماران منع استعمال داشته و با مشکلات و عوارضی همراه بوده است [۲ و ۳]. برای اساس به نظر مرسد در صورت تداوم این وضعیت، مشکلات متعددی برای بیماران متقاضی درمان‌های پریودنتال ایجاد می‌شود و از دست دادن دندان‌ها در آنان افزایش خواهد یافت. سرآغاز لیزرهای اختصاصی برای دندانپزشکی، ساخت لیزر Nd:YAG تناوبی برای جراحی بافت نرم داخل دهان توسط MYERS بود [۴].

با توجه به معایب روش‌های معمول، تحقیقات بر روی انواعی از اشعه لیزر مانند Nd:YAG و Er:YAG برای انجام جرم‌گیری و هموارسازی سطوح ریشه پیشینه‌ای چندده‌ساله دارد. از میان این لیزرهای جذب بالای طول موج لیزر Er:YAG توسط مولکول‌های آب، این لیزر را برای انجام درمان‌های پریودنتال و به ویژه جرم‌گیری و هموارسازی سطح ریشه‌ای مناسب می‌سازد [۵]. البته اطلاعات آماری از چگونگی عملکرد این لیزر در بهبود درمان‌های پریودنتال وجود نداشته است و تحقیقات قبلی هم به طور عمده در ارائه یک نتیجه‌گیری کلی ناتوان بوده‌اند و نتایج محققان مختلف در رابطه با کارآیی لیزر در پاکسازی سطح ریشه با توجه به گستردگی انواع لیزر یکسان نمی‌باشد [۶].

افزایش کارآیی روش‌های متداول در بیمان مکانیکی و امکان برقراری سطح انتقال جدید با وسایل نوین می‌تواند در کاهش شدت و گستردگی بیماری پریودنتیت مؤثر باشد و نیاز به درمان‌های پرهزینه، پیچیده و تخصصی بازسازی سیستم جونده را کاهش دهد. اکثر بیماران تمایل

شستشو داده شدند و مجموع برش ها در محلول بافری فسفات (FBS) قرار داده شدند تا آماده مرحله کشت سلولی شوند.



شکل ۵

رده سلولی gingival fibroblast موجود در بانک سلولی انسنتیتو پاستور ایران به عنوان نمونه ای از سلول های بافت همبندی لثه انسانی در ۳۷ درجه سانتی گراد در اتمسفر مرطوب ۹۵ درصد هوا و ۵ درصد  $\text{CO}_2$  انکوبه شدند که محیط کشت شامل: Eagle Medium (DMEM)\*, 100 u/ml penicillin, 100 mg/ml streptomycin, 100 streptomycin, 2 mm l-Glutamine 10% FBS Trypsin ۳ از سلول های کشت شده توسط محلول استریل- EDTA از محیط کشت جدا و در داخل محیط MCcoys5A حاوی ۱۰ درصد ۱ penicilin ۱ درصد و ۱ streptomycin معلق شدند و جهت کشت سلولی قرار گرفتند. برش ها در محیط های کشت سلولی قرار دادند و فیبروبلاست های لثه ای را در چگالی سلولی ۸۰,۰۰۰ بر روی برش های ریشه قرار دادند.



شکل ۶

#### تعیین تکثیر سلولی و نرخ بقا

برای این سنجش از تست (translational and) translational method of transcriptional استفاده شد. تست MTT برای سنجش میزان یا نسبت تکثیر سلولی کاربرد دارد و براساس روش رنگ سنجی بر پایه احیا و شکسته شدن کریستال های آبی رنگ فورمازان انجام می شود که حساسیت این روش بالای ۹۸ درصد می باشد پس از اتمام انکوباسیون در روز سوم تست MTT به شرح زیر انجام شد:

ابتدا، محیط کشت ریشه دور ریخته شد و هر کدام از well ها به طور کامل با PBS شستشو داده شدند. سپس ۱۰۰ لاندا محیط حاوی  $10 \text{ mg MTT/ml}$  (PBS + $5 \text{ mg DEME}$ ) در مدت ۹۰ ثانیه



شکل ۲

نمونه ها با فورسیس بافتی نگاه داشته شده جرم گیری با استفاده از وسایل دستی کورت های سبک و توخالی شماره ۷ و ۸ شرکت Nordent ایالات متحده و جرم گیری با دستگاه اولتراسوند توسط Vector ساخت شرکت آلمانی Bietigheim-Bissingen درمان تا زمان رسیدن به سطحی صاف که در زیر دست درمانگر احساس شوند، ادامه یافت. تمامی این درمان ها روی تمامی نمونه ها توسط یک فرد صورت گرفت.



شکل ۳

برای گروه درمان شده با لیزر پس از حذف رسوب های بزرگ با وسایل دستی از تابش نور لیزر Er:YAG دستگاه Photona با مشخصات زیر استفاده می شود: طول موج:  $2940 \text{ nm}$  انرژی هر پالس:  $100 \text{ mJ}$  فرکانس:  $10 \text{ pps}$  در ثانیه، فیبر نوری با سطح مقطع  $1/65 \times 5/0 \text{ mm}^2$  متر، زاویه نوک فیبر با سطح ریشه:  $15-20^\circ$  درجه با شیوه غیر تماشی، pulse duration ۲۳۰ very short پرتو افکنی شد.



شکل ۴

#### آماده سازی نمونه ها

پس از مراحل فوق، تمامی بلوك ها دوبار با آب مفطر به مدت ۳۰ ثانیه

بین تعداد سلول‌های فیبروبلاست بروی دیواره دندان‌ها بین ۴ گروه یافت نشد ولی هر ۴ گروه درمان شده تفاوت معنی‌داری با گروه کنترل مثبت داشتند ( $P < 0.001$ ).

### بحث

نتایج به دست آمده از مطالعه حاضر مشخص می‌کند که از نظر میزان بقای سلول‌های فیبروبلاست لثه‌ای بین ۵ گروه تفاوت معنی‌داری دیده شد. هر چند اختلاف معنی‌داری بین تعداد سلول‌های فیبروبلاست بروی دیواره دندان‌ها بین ۴ گروه یافت نشد ولی هر ۴ گروه مورد بررسی تفاوت معنی‌داری با گروه کنترل مثبت داشتند.

تحقیق نشان داد که گرچه روش‌های مختلف پاکسازی سطوح دندانی ممکن است در سایر جهات با هم تفاوت داشته باشند ولی در مورد نرخ بقا فیبروبلاست‌ها یکسان می‌باشند.

Bela و همکاران در سال ۲۰۰۷ اثرات تابش لیزر Er: YAG human platelet-derived growth factor- (BB recombinant) فاکتور رشد انسانی (BB) را در سازگاری زیستی ریشه‌های مبتلا به بیماری‌های پریودنتال از طریق اتصال فیبروبلاست PDL ارزیابی کردند. در این مطالعه اثر لیزر Er:YAG به همراه فاکتور رشد در ۵ دندان سالم و ۱۵ دندان مبتلا به بیماری‌های پریودنتال در چهار گروه توسط میکروسکوپ الکترونی آزمون شد. در گروه تابش لیزر Er:YAG به تنها یابانی با انرژی  $10 \frac{mj}{pulse}$  و  $60 \text{ هرتز در } 3 \text{ جهت افقی (} 87/48 \text{) و عتمدی (} 47/58 \text{) و } 50 \frac{ng}{ml}$  مایل ( $43/28$ ) صورت گرفت و در گروه ترکیبی تابش لیزر با انرژی  $10 \text{ و } 60 \text{ هرتز به همراه کاربید rhPDGF-BB}$  به میزان  $50 \text{ به مدت }$

به هر well اضافه شد و به مدت ۴ ساعت در انکوباتور حاوی  $CO_2$  در ۳۷ درجه سانتی‌گراد قرار داده شد. در مدت انکوباسیون MTT توسط سیستم سوکسینات دهیدروژناز احیا شد. احیا و شکسته شدن این حلقه آنزیمی موجب تولید کریستال‌های آبی‌رنگ و غیر محلول فورمازان در داخل سیتوپلاسم سلولی می‌شود. بعداز ۴ ساعت مایع روی هر دوباره برداشته شده و با PBS استریل شستشو داده شد و سپس  $100 \text{ لاندا ایزوپروپانول اسیدیک (} 4/0 \text{ درصد با هیدروکلریک اسید (HCL)}$  به هر well اضافه شد. انکوباسیون در حرارت اتاق و دور از نور به مدت ۱۰ دقیقه انجام شد. الكل باعث لیز سیتوپلاسم سلولی و باعث خروج فورمازان غیر محلول از سیتوپلاسم سلول می‌شود و اقدام به محلول نمودن رنگ تشکیل شده می‌نمایند که باعث رنگی شدن محیط می‌شود. در نهایت جذب نوری محلول به دست آمده را در طول موج ۵۷۰ نانومتر به عنوان طول موج reference measurement ۴۹۲ نانومتر به عنوان طول موج در دستگاه Elisa Reader به ثبت رساندیم.



شکل ۷

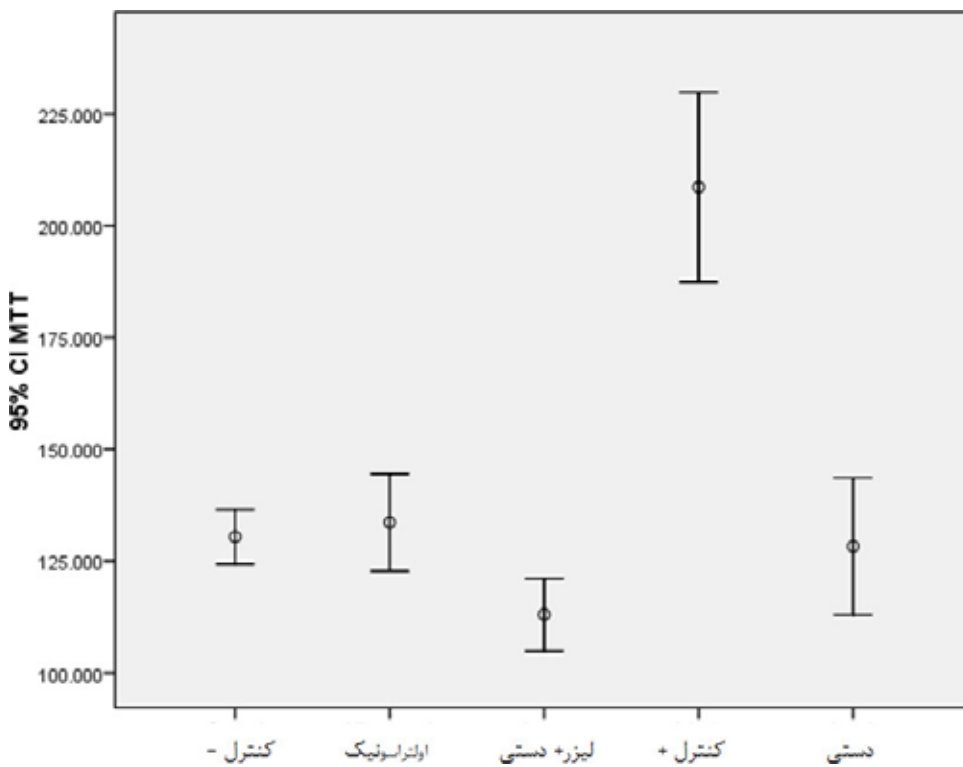
### یافته‌ها

میانگین تعداد نمونه‌ها براساس آزمون MTT در گروه‌های درمانی در جدول ۱ آمده است. نتایج این بررسی نشان می‌دهد که بین ۳ گروه درمانی اختلاف معنی‌داری وجود دارد ( $P < 0.001$ ). اختلاف معنی‌داری

جدول ۱: تعداد سلول‌های فیبروبلاست متصل بروی هریک از نمونه‌ها با روش MTT در گروه‌های مختلف با استفاده از آنالیز کوواریانس (ANCOVA) با درنظر گرفتن تعداد فیبروبلاست‌های سطح شاهد به عنوان Covariate استفاده می‌شود.

نام گروه درمانی	N	انحراف معیار $\pm$ میانگین نرخ بقا سلولی	حداقل تعداد سلول	حداکثر تعداد سلول
(۱) کنترل +	14	$20.8/65 \pm 36/77$	۱۶۰	۳۲۳
(۲) اولتراسونیک اولتراسونیک	14	$133/65 \pm 18/82$	۱۰۱	۱۶۷
(۳) دستی	14	$128/29 \pm 26/41$	۸۶	۱۶۷
(۴) لیزر Er-YAG + دستی	14	$113 \pm 14/1$	۸۸	۱۳۲
(۵) کنترل -	14	$130/43 \pm 10/57$	۱۰۳	۱۴۱
جمع	70	$142/8 \pm 40/77$	۸۶	۳۲۳

نمودار ۱: نمودار error bar میانگین و حدود اطمینان ۹۵ درصد میانگین میزان تعداد سلول‌های فیبروبلاست متصل بر روی هر یک از نمونه‌ها



(L+EP) EDTA، تابش (لیزر به همراه محلول سالین نرمال (L+MP))، تابش (لیزر به همراه محلول سالین نرمال (L+MP))، قرار گرفتند. تابش لیزر با انرژی  $\frac{mj}{pulse}$  ۳۰ و ۳۰ HZ با زاویه تماسی ۳۰° به مدت ۴۵ ثانیه انجام گرفت. سپس نمونه‌ها با استفاده از میکروسکوپ الکترونی ارزیابی شده و مشاهده‌های هیستولوژیکی و ارزیابی چسبندگی با استفاده از فیبروبلاست لیگامان پریودنتال صورت گرفت. تابش با لیزر منجر به ایجاد لایه باریکی به (ضخامت ۵/۵ میکرون) به همراه یک ساختار میکرونی سطحی (Micro structure) روی سطح سمنتوم شده بود که این ساختار ناشی از تابش با لیزر به صورت شکننده و قابل برداشت از طریق درمان‌های شیمیایی و مکانیکی بود. آن‌ها دریافتند در ارزیابی چسبندگی سلولی گروه L+TB (۱۷/۴±۳/۵ سلول) تعداد سلول‌های چسبنده بیشتری در تمامی گروه‌ها نشان داده شد نمونه‌های تحت تابش لیزر به تنها یکی کمترین مقادیر سلولی ( $4/7\pm 1/2$  سلول) را نشان داد که به تمايل خصوصیات ساختاری میکرونی سطوح سمنتوم بعداز تابش لیزر Er:YAG در جلوگیری از چسبندگی اولیه سلول‌های PDL نسبت داده می‌شود، با این حال، آماده‌سازی مکانیکی و شیمیایی ریشه از طریق برداشت ساختارهای ریز در سطوح و عریان شدن بیشتر فیبرهای کلاژن، منجر به بود و افزایش سازگاری زیستی سمنتوم ریشه تابش با لیزر می‌گردد. در این تحقیق نیز لیزر Er:YAG فقط در یک انرژی خاص اعمال می‌شود و اثرهای انرژی‌های مختلف در نتایج معلوم نمی‌باشد. در تحقیق حاضر نیز پاکسازی سطح دندان چهار بیماری پریودنتال با لیزر

دقتیقه صورت گرفت. آن‌ها دریافتند که تابش لیزر Er:YAG به تنها یکی در ترکیب با rhpDGF-BB (rhpDGF-BB) ممکن است به عنوان یک درمان پریودنتال مناسب برای آماده‌سازی سطوح ریشه مطرح باشد، هرچند درمان‌های ترکیبی در این زمینه اثرهای نسبتاً بهتری داشتند. استفاده از تعداد نمونه‌های کافی در گروه‌ها اتخاذ معیارهای متعدد ورود به تحقیق برای یکسان‌سازی، استفاده از روش‌های کشت استاندارد همگی جزو مواردی بودند که مشابه تحقیق حاضر بود در هردو تحقیق از لیزرهای مشابه استفاده شد ولی از نظر ویژگی‌های لیزر و مدت زمان انکوباسیون متفاوت بودند. همچنین از آجاكه در روند ترمیم حاصل از دبریدمان ریشه در روش‌های درمان غیرحرابی پریودنتال نقش اصلی با سلول‌های فیبروبلاست لثه‌ای است که منجر به اتصال جدید بافت همبند می‌شود، استفاده از فیبروبلاست‌های PDL که ماهیتاً با فیبروبلاست لثه‌ای متفاوت است چندان منطقی نمی‌باشد. مطالعه Marugama و همکاران در سال ۲۰۰۸ می‌تواند با یافته‌های حاصل از پژوهش حاضر هماهنگ باشد و این نتایج را تأیید کند. آن‌ها اثرهای آماده‌سازی مکانیکی و شیمیایی روی سمنتوم ریشه ۱۰۴ دندان پرمولر و مولر را پس از تابش با لیزر Er:YAG بررسی کردند. ۱۶ پلیت سالم سمنتوم در گروه درمان نشده (کنترل) و ۸۸ پلیت سمنتوم در گروه‌های تابش (لیزر (L)، (Er:YAG)، (L+TB)، (لیزر + تتراسایکلین (L+Tp)، (لیزر + برینش با تتراسایکلین (L+TB)، تابش (لیزر با ژل (L+EP) EDTA)، تابش (لیزر همراه با برنیش با ژل

جدول ۲: بررسی اختلاف گروه‌ها با هم بر حسب مقایسه تک نک گروه‌ها با گروه‌های دیگر و میزان معنی‌داری آن‌ها

95% Confidence Interval		میزان معنی‌داری	انحراف معیار	میانگین اختلاف	نام گروه‌ها	نام گروه
Upper bound	Lower Bound					
۲۱,۴۹	-۲۷,۹	۹۹۶.	۸,۸۰	-۲,۲۱	اولتراسوئیک لیزر کنترل +Er:YAG+ دستی	کنترل -
۴۲,۱۲	-۷,۲	۲۸۸.	۸,۸۰	۱۷,۴۲		
-۵۲,۵۰	-۱۰۲,۹۱	۰۰۰.	۸,۸۰	-۷۸,۲۱		
۲۶,۸۴	-۲۲,۵۶	۰۹۹۹	۸,۸۰	۲,۱۴		
۲۷,۹۱	-۲۱,۴۹	۹۹۶.	۸,۸۰	۲,۲۱	کنترل - اولتراسوئیک لیزر کنترل +Er:YAG+ دستی	اولتراسوئیک
۴۵,۲۴	-۴,۰۶	۱۴۴.	۸,۸۰	۲۰,۶۴		
-۵۰,۲۹	-۹۹,۷۰	۰۰۰.	۸,۸۰	-۷۵,۰		
۲۰,۰۶	-۱۹,۲۴	۰۹۷۳	۸,۸۰	۵,۳۵		
۷,۲۷	-۴۲,۱۲	۲۸۸.	۸,۸۰	-۱۷,۴۲	کنترل - اولتراسوئیک کنترل + دستی	Er:YAG+ دستی
۴,۰۶	-۴۵,۲۴	۱۴۴.	۸,۸۰	-۲۰,۶۴		
-۷۰,۹۲	-۱۲۰,۳۴	۰۰۰.	۸,۸۰	-۹۵,۶۴		
۹,۴۱	-۳۹,۹۹	۰۴۲۰	۸,۸۰	-۱۵,۲۸		
۱۰۲,۹۱	۵۲,۵۰	۰۰۰.	۸,۸۰	۷۸,۲۱	کنترل - اولتراسوئیک لیزر دستی +Er:YAG+ دستی	کنترل +
۹۹,۷۰	۵۰,۲۹	۰۰۰.	۸,۸۰	۷۵,۰		
۱۲۰,۲۴	۷۰,۹۲	۰۰۰.	۸,۸۰	۹۵,۶۴		
۱۰۵,۰۶	۵۵,۶۵	۰۰۰.	۸,۸۰	۸۰,۳۵		
۲۲,۵۶	-۲۶,۸۴	۹۹۹.	۸,۸۰۴	-۲,۱۴	کنترل - اولتراسوئیک لیزر کنترل +Er:YAG+ دستی	دستی
۱۹,۲۴	-۳۰,۰۶	۹۷۳.	۸,۸۰۴	-۵,۲۵		
۲۹,۹۹	-۹,۴۱	۴۲۰.	۸,۸۰۴	۱۵,۲۸		
-۵۵,۶۵	-۱۰۵,۰۶	۰۰۰.	۸,۸۰۴	-۸۰,۲۵		

سلول‌های چسبیده به آن به همراه دارد. استفاده از روش‌های استاندارد برای بررسی نتایج به همراه مقایسه یافته‌ها با گروه کنترل می‌تواند اعتبار مطالعه را افزایش دهد که از این نظر مشابه تحقیق حاضر می‌باشد ولی نمونه‌های موردن بررسی تفاوت داشتند به عنوان مثال در تحقیقی دیگر که در سال ۲۰۰۹ توسط همین محقق انجام شد، لیزر را در نمونه‌هایی مؤثر می‌دانند که عمق پاکت آن‌ها ۱-۴ میلی‌متر باشد و در اندازه‌های دیگر بین لیزر و سایر روش‌ها تفاوت معنی‌داری یافت نشد.

تفاوت در میزان بقای سلول و نوع روش آماده‌سازی سطح ریشه می‌تواند در نتایج بالینی و متغیرهایی همچون PD و CAL در روش‌های غیر جراحی و حتی جراحی کارساز باشد. Mizutani و همکاران در سال ۲۰۰۶ نتایج ترمیم بافت‌های پریودنتال بعد از جراحی فلپ به دنبال تابش لیزر Er:YAG و روش معمول را

نتوانست مزیت خاصی را از نظر چسبندگی فیبروبلاست‌ها نسبت به سایر روش‌های درمانی ایجاد نماید.

Schwarz و همکاران در سال ۲۰۰۳ در تحقیقی تعداد سلول‌های Fibroblast PDL روی سطح ریشه دندان‌های درگیر با پریودنتیت شدید در ۴ گروه بررسی کردند. ۴۰ دندان تک‌ریشه در ۴ گروه تحت تابش لیزر Er:YAG با انحرفی  $\frac{mj}{pulse}$  (۱۰ HZ و ۱۶ HZ)، تحت درمان با دستگاه اولتراسوند vector. جرم‌گیری با وسایل دستی و بدون درمان قرار گرفتند. براساس نتایج تحقیق، مقداری سلول‌های فیبروبلاست در گروه‌های فوق به ترتیب برابر  $111 \pm 27$  و  $111 \pm 27$  و  $75 \pm 25$  و  $25 \pm 1$  و  $41 \pm 17$  و  $41 \pm 17$  عدد در هر میلی‌متر مربع برآورد گردید. در این تحقیق مشخص گردید درمان سطح ریشه با لیزر اربیوم و دستگاه vector نسبت به جرم‌گیری با وسایل دستی و یا بدون درمان، افزایش چشمگیرتری را در تعداد

YSGG (Gr) و وسایل دستی بر چسبندگی فیبروبلاست‌های لیگامان پریودنتال PDL به سطح ریشه دندان را برسی کردند در این مطالعه ۲۴ دندان تکریشه مبتلا به پریودنتیت و شش دندان مولر سالم که به دلایل ارتوونسی کشیده شدند (گروه کنترل) مورد بررسی قرار گرفت. مجموع ۴۵ برش در ۵ گروه قرار داده شد: ۱- گروه سالم درمان نشده (کنترل +)- ۲- گروه درمان نشده مبتلا به پریودنتیت (کنترل -)- ۳- گروه ۱,۵W (۱۵۰mj) ۴- تابش لیزر (Scaled Gracey) ۵- تابش لیزر (Er, Cr YSGG ۱۰Hz) ۶- تابش لیزر (Er, Cr YSGG ۱۰Hz) با پالس ۱۴۰ms ۷- تابش لیزر (Er, Cr YSGG ۱۰Hz) با پالس ۱۴۰ms. برش‌ها در محیط کشت سلولی قرار داده شد و چسبندگی فیبروبلاست‌ها با استفاده از میکروسکوپ الکترونی در روز سوم مشاهده شد و میزان برミد ترازوایلوم نیز براساس تست MTT روز پنجم برای تعیین میزان نرخ بقای سلولی فیبروبلاست‌ها انجام شد. آن‌ها دریافتند براساس تست MTT گروه درمان شده با لیزر غلظت سلولی قبل توجهی را نشان داد. اما در گروه دستی (Gracey) غلظت سلولی پایینی در مقایسه با گروه کنترل دیده شد. ( $P < 0/05$ ) همچنین گروه درمانی لیزر با پالس کوتاه چسبندگی سلولی فیبروبلاست PDL بیشتری نسبت به گروه دستی و لیزر II و حتی گروه سالم داشت. در این تحقیق نیز برای بررسی نرخ بقای سلولی از تست MTT استفاده شد که مشابه تحقیق حاضر می‌باشد ولی تفاوت در نوع لیزر را می‌توان عامل اختلاف در نتایج دانست. همچنین برش‌های دندانی قبل از کشت سلولی اتوکلاو شدند که این می‌تواند باعث تغییرات سطحی دندان شود و نتایج را تغییر دهد بر همین اساس در تحقیق حاضر از روش شستشوی نمونه‌ها با آب مقطر و نگهداری در FBS استفاده شد.

Stubinger و همکاران در سال ۲۰۱۰ به منظور بررسی تأثیرهای Carbon dioxide (CO<sub>2</sub>) و diode بر سطوح تیتانیومی که پالیش یا سند بلاست و یا اسید اچ شده بودند مطالعه‌ای انجام دادند. در این تحقیق هر دیسک در ۶ منطقه دایره‌ای با قطر ۵ میلی‌متر توسط یک لیزر مشابه مدت ۱۰۵ مورد تابش قرار گرفت.

آن‌ها دریافتند که این استفاده از لیزر YAG; Er; YAG Safe است که تابش آن بر سطح ایمپلنت بالاتر از ۳۰۰mj یا ۵۰۰mj نباشد که این تحقیق در ابعاد با توان کاربردی لیزر YAG; Er; YAG قابل استناد می‌باشد. در این تحقیق توان بالای لیزر YAG; Er; YAG به همراه زمان ۱۰۵ استفاده شده حال آنکه در تحقیق حاضر توان ۱۰۰mj با زمان ۴۰۵ صورت گرفت. می‌توان اینگونه بیان کرد که علاوه‌بر توان، مدت زمان تابش لیزر نیز می‌تواند در نتایج درمان مؤثر باشد.

مقایسه کردند. برای این منظور، بیماری پریودنتیت در نواحی پرمولر به صورت دوطرفه در ۶ سگ ایجاد و با استفاده از روش جراحی فلپ پریودنتال درمان شدند. فرآیند degranulation و دبریدمان ریشه در ناحیه فورکشین دندان با تابش لیزر Er:YAG یا کورت انجام شد سپس بررسی‌های هیستولوژیکی و هیستومتریک انجام شد. نتایج مطالعه نشان داد degranulation و دبریدمان ریشه به صورت مؤثری بعد از تابش لیزر Er:YAG انجام شد و علاوه‌بر عدم مشاهده هرگونه آسیب گرمایی، سرعت آن نیز در مقایسه با روش کورت بیشتر برآورد گردید. همچنین از نظر هیستولوژیکی میزان استخوان تازه تشکیل شده به صورت معنی‌داری در گروه لیزر در مقایسه با روش کورت بیشتر بود، با این حال، هر دو گروه مقادیر یکسانی از تشکیل سمنتوم و چسبندگی بافت همبند را نشان دادند. در این مطالعه نتیجه‌گیری شد تابش لیزر Er:YAG در جراحی فلپ پریودنتال از اثربخشی و اینمنی لازم برخوردار است و قابلیت استفاده در درمان‌های با اهداف تشکیل استخوان جدید را دارد. این تحقیق بر روی حیوانات انجام شد و نواحی بررسی دندان‌ها (فورکشین دندان) با تحقیق ما تفاوت داشتند و می‌دانیم که در بررسی دندان‌ها هر کدام از سایتها دندانی دارای اهمیت ویژه‌ای است. در این تحقیق نیز به بررسی کوتاه‌مدت تابش لیزر پرداخته شده و اثرهای بلندمدت آن ارزیابی نشده است. نکته مهم آن است که اثر آماده‌سازی سطح ریشه و یا حتی حفرات استخوانی با لیزر نه تنها برروی فیبروبلاست و چسبندگی و ترمیم بافت نرم که حتی در سلول‌های سازنده بافت سخت نیز تأثیر دارد.

Romanos و همکاران در سال ۲۰۰۶ چسبندگی استئوبلاست‌ها را بعد از تابش لیزر با استفاده از روش اسکن میکروسکوپ الکترونی بررسی نمودند. برای این منظور ۴ نوع دیسک تیتانیومی مختلف با ابعاد ۱/۵ سانتی‌متر و قطر ۲ میلی‌متر تهیه گردید و با استفاده از هیدروکسی‌آپاتیت پوشش داده شد. دیسک براساس الگوی سطحی خود و نوع لیزر تابش یافته به ۳ گروه تحت تابش لیزر CO<sub>2</sub> (انرژی ۱۱/۶۰۰ نانومتر)، تحت تابش لیزر Er,Cr:YSGG (انرژی ۲/۷۸۰ نانومتر) و نمونه‌های گروه سه به عنوان گروه شاهد هیچ تابشی دریافت نکردند. دستگاه لیزر CO<sub>2</sub> با قطر ۱/۵ نانومتر، خروجی انرژی ۴-۶ وات و فرکانس ۲۰ هرتز و لیزر نوک ۱/۲۵ وات و نسبت هوا و آب برابر ۴۲ به ۴۱ با انرژی ۱/۲۵ وات و نسبت هوا و آب برابر ۴۲ به ۴۱ به کار رفت. از یک رده سلولی با فنوتیپ استئوبلاستیک (استئوسارکومای انسانی) (Saos-2) نیز برای آزمایش‌های چسبندگی سلولی استفاده شد. نتایج تحقیق نشان داد نمونه‌های کنترل بدون تابش لیزر دارای غلظت سلولی پایین بوده و مورفو‌لوژی سلولی در سطوح این دیسک‌ها غالباً پهن بوده است. با این حال، سطوح دیسک‌های تابش یافته با لیزر CO<sub>2</sub> یا Er,Cr:YSGG در مقایسه با گروه کنترل تراکم سلولی بیشتری داشتند که این موضوع می‌تواند نتیجه اثرهای تمیزکنندگی لیزر در لایه‌های سطحی دیسک‌ها باشد.

در تحقیق Sema و همکاران در سال ۲۰۱۰ اثرات تابش لیزر (Er,

## References:

1. Newman MG, Takei HH, Carranza FA. Carranza's clinical periodontology. 11th ed. Philadelphia: WB Saunders Co. 2011.
2. Drisko CL. Scaling and root planning without overinstrumentation: hand versus power-driven scalers. *Curr Opin Periodontol* 1993; 3: 78-88.
3. Ashimoto A, Chen C, Bakker J, Slots J. Polymerase chain reaction detection of 8 putative periodontal pathogens in subgingival plaque of gingivitis and advanced periodontitis lesions. *Oral Microbial Immunol* 1996; 11(4): 266-73.
4. Amid R, Movahedi M. Clinical application of laser in Dental. Shayan Nemoodar publication. 1385.
5. Frentzen M, Koort HJ. Lasers in dentistry: new possibilities with advancing laser technology. *Int Dent J* 1990; 40(6): 323-32.
6. Maruyama H, Aoki A, Sasaki KM, Takasaki AA, Iwasaki K, Ichinose SH, Oda SH, Ishikawa I, Izumi Y. The effect of chemical and/or mechanical conditioning on the Er:YAG laser-treated root cementum: analysis of surface morphology and periodontal ligament fibroblast attachment. *Laser Surg Med* 2008; 40(3): 211-22.
7. Newman MG , Takei HH, Garranza FA . clinical periodontology 2002; 41: 567-78.
8. Usumez A, Aykent F. Bond strength of porcelain veneers to tooth surface prepared with acid and Er,Cr:YSGG laser etching. *J Prosthet Dent* 2003; 90(1): 24-30.
9. Kelsey WP. Application of the Argon laser to dentistry. *J Clin Laser Med Sur* 1991; 11(6): 450-95.
- 10.Pick RM, Pecaro BC, Silberman CJ. The laser gingivectomy. The use of the CO<sub>2</sub> laser for the removal of phenyton hyperplasia. *J Periodontal* 1985; 56(8): 492-6.
- 11.Frentzen M. Excimer laser in dentistry. *Quintessence International* 1992; 23(2): 117-20.
- 12.Belal MH, Watanabe H, Ichinose S, Ishikawa I. Effect of Er:YAG laser combined with rhPDGF-BB on attachment of cultured fibroblasts to periodontally involved root surfaces. *J Periodontol* 2007; 78: 1329-41.
- 13.Mizutani K, Aoki A, Takasaki AA, Kinshita A, Hayashi C, Oda SH, Ishikawa I. Periodontal tissue healing following flap surgery using an Er:YAG laser in dogs. *Lasers Surg Med* 2006; 38(4): 314-24.
- 14.Romanos G, Crespi R, Barone A, Covani U. Osteoblast attachment on titanium disks after laser irradiation. *Int J Oral Maxillofac Implants* 2006; 21(3): 232-6.
- 15.Schwarz F, Aoki A, Sculean A, George T, Scherbaum W, Becker J. In vivo effects of an Er:YAG laser, an ultrasonic system and scaling and root planning on the biocompatibility of periodontally diseased and surfaces in cultures of human PDL fibroblasts. *Lasers Surg Med* 2003; 33(2): 140-7.
- 16.Sema S.Hakki, petek Korkusuz, Gizem Berk, Niyazi Dundar, Mehmet Saglam, Buket Bozkurt, and Nuhan Purali. Comparison of Er,Cr: YGG Laser and Hand Instrnmentation on the Attachment if Oerioidal Ligament Fibriblasts to Periodontally Diseased Riit Surfaces: An In Vitro Study. *Jop* 2010; 81: 1216-25.